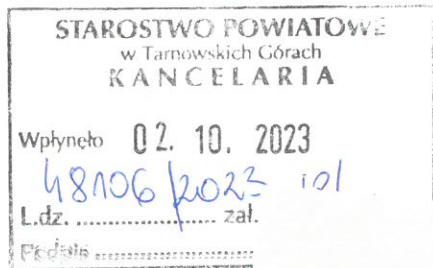


rej. 250 SR-6221-51-2023
rej. 1180 SR-6221-52-2023
2023-10-02

NIP: 9512120077



STAROSTWO POWIATOWE W TARNOWSKICH
GÓRACH
Tarnowskie Góry
Tarnowskie Góry (miasto)
ul. Kartuszwiec 5

WNIOSEK

ZGŁOSZENIE

Do Starosty Powiatu Tarnogórskiego, za pośrednictwem Wydziału Ochrony Środowiska.

W załączeniu dokumenty emisyjne.

Poniżej przesyłam aktualny adres do korespondencji:

P4 Sp. z o. o.
ul. Zabrska 17
40-083 Katowice

Załączniki:

1. [TRG2008C_202309250000.pdf](#)
2. [20230905 TRG2008_OS.pdf](#)
3. [URZĄD MIEJSKI W TARNOWSKICH GÓ 17.00- TRG2008C OPLATA SKARB ZA PELN.PDF](#)
4. [TRG7002A_202309250000.pdf](#)
5. [20230905 TRG7002_OS.pdf](#)
6. [URZĄD MIEJSKI W TARNOWSKICH GÓ 17.00- TRG7002A OPLATA SKARB ZA PELN.PDF](#)
7. [109.07.2022 Annamaria Stawowy el.pdf](#)

Dokument nie zawiera podpisu

Podpis elektroniczny

Podpis elektroniczny zweryfikowany w dniu 02. 10. 2023
Weryfikacja:
Pozytywna/negatywna/brak możliwości weryfikacji/
podpis niekompletnie zweryfikowany
Czytelny podpis sporządzającego wydruk



Prowadzący instalację:

P4 Sp. z o. o.
ul. Wynalazek 1
02-677 Warszawa

Katowice, 2023-09-25

Adres do korespondencji:

P4 Sp. z o. o.
ul. Zabrska 17
40-083 Katowice

Starosta Tarnogórski

Przedłożenie informacji o zmianie danych w instalacji

o których mowa w przedłożeniu informacji dla TRG2008C z dnia 2019-05-24

dotyczy: informacji o zmianie w zakresie danych w przedłożeniu informacji dla TRG2008C.

Adres zakładu, na którego terenie prowadzona jest eksploatacja instalacji:

42-600 Tarnowskie Góry, Zagórska 83, gm. Tarnowskie Góry, pow. tarnogórski

Podstawa prawna: ustawa z dnia 27 kwietnia 2001 r. Prawo ochrony środowiska, art. 152, ust 6, pkt 1, lit. c)

Niniejsza informacja zawiera wyłącznie dane, które uległy zmianie.

1) Oznaczenie prowadzącego instalację, jego adres zamieszkania lub siedziby.

Brak zmian.

2) Rodzaj i zakres prowadzonej działalności, w tym wielkość produkcji lub wielkość świadczonych usług.

Usługi telekomunikacyjne, transmisja danych: 1TB/doba.

3) Czas funkcjonowania instalacji (dni tygodnia i godziny).

Brak zmian.

4) Wielkość i rodzaj emisji.

Dane przed zmianą:

| L.p. | Nazwa anteny | Wysokość [m n.p.t.] | Rodzaj emisji | Równoważna moc promieniowana izotropowo | Azymut | Kąt pochylenia | Częstotliwość |
|------|--------------|------------------------|------------------|--|--------|-------------------|---------------|
| 1 | 11_HV | 68,2 | PEM | 3006 W | 40° | 0-9° | 800 MHz |
| 2 | 11_HV | 68,2 | PEM | 9932 W | 40° | 0-9° | 2600 MHz |

| | | | | | | | |
|----|----------|------|-----|--------|------|-------|----------|
| 3 | 12_DLNTU | 68,2 | PEM | 1538 W | 40° | 0-9° | 900 MHz |
| 4 | 12_DLNTU | 68,2 | PEM | 5636 W | 40° | 0-9° | 1800 MHz |
| 5 | 12_DLNTU | 68,2 | PEM | 4977 W | 40° | 0-9° | 2100 MHz |
| 6 | 21_HV | 68,2 | PEM | 3006 W | 130° | 0-10° | 800 MHz |
| 7 | 21_HV | 68,2 | PEM | 9932 W | 130° | 0-10° | 2600 MHz |
| 8 | 22_DLNTU | 68,2 | PEM | 1538 W | 130° | 0-10° | 900 MHz |
| 9 | 22_DLNTU | 68,2 | PEM | 5636 W | 130° | 0-10° | 1800 MHz |
| 10 | 22_DLNTU | 68,2 | PEM | 4977 W | 130° | 0-10° | 2100 MHz |
| 11 | 31_HV | 68,2 | PEM | 3006 W | 215° | 0-10° | 800 MHz |
| 12 | 31_HV | 68,2 | PEM | 9932 W | 215° | 0-10° | 2600 MHz |
| 13 | 32_DLNTU | 68,2 | PEM | 1538 W | 215° | 0-10° | 900 MHz |
| 14 | 32_DLNTU | 68,2 | PEM | 5636 W | 215° | 0-10° | 1800 MHz |
| 15 | 32_DLNTU | 68,2 | PEM | 4977 W | 215° | 0-10° | 2100 MHz |
| 16 | 41_HV | 68,2 | PEM | 3006 W | 310° | 0-10° | 800 MHz |
| 17 | 41_HV | 68,2 | PEM | 9932 W | 310° | 0-10° | 2600 MHz |
| 18 | 42_DLNTU | 68,2 | PEM | 1538 W | 310° | 0-10° | 900 MHz |
| 19 | 42_DLNTU | 68,2 | PEM | 5636 W | 310° | 0-10° | 1800 MHz |
| 20 | 42_DLNTU | 68,2 | PEM | 4977 W | 310° | 0-10° | 2100 MHz |
| 21 | RL1 | 67 | PEM | 4677 W | 123° | | 32 GHz |
| 22 | RL2 | 68 | PEM | 3467 W | 314° | | 23 GHz |

Dane po zmianie:

| L.p. | Nazwa anteny | Wysokość [m n.p.t.] | Rodzaj emisji | Równoważna moc promieniowana izotropowo | Azymut | Kąt pochylenia | Częstotliwość |
|------|--------------|------------------------|------------------|--|--------|-------------------|----------------|
| 1 | 11_HV | 68,2 | PEM | 3006 W | 40° | 0-10° | 800 MHz |
| 2 | 11_HV | 68,2 | PEM | 9932 W | 40° | 0-10° | 2600 MHz |
| 3 | 12_DGLNTU | 68,2 | PEM | 1538 W | 40° | 0-10° | 900 MHz |
| 4 | 12_DGLNTU | 68,2 | PEM | 5636 W | 40° | 0-10° | 1800 MHz |
| 5 | 12_DGLNTU | 68,2 | PEM | 4977 W | 40° | 0-10° | 2100 MHz |
| 6 | 21_HV | 68,2 | PEM | 3006 W | 130° | 0-10° | 800 MHz |
| 7 | 21_HV | 68,2 | PEM | 9932 W | 130° | 0-10° | 2600 MHz |
| 8 | 22_DLNTU | 68,2 | PEM | 1538 W | 130° | 0-10° | 900 MHz |
| 9 | 22_DLNTU | 68,2 | PEM | 5636 W | 130° | 0-10° | 1800 MHz |
| 10 | 22_DLNTU | 68,2 | PEM | 4977 W | 130° | 0-10° | 2100 MHz |
| 11 | 31_HV | 68,2 | PEM | 3006 W | 215° | 0-10° | 800 MHz |
| 12 | 31_HV | 68,2 | PEM | 9932 W | 215° | 0-10° | 2600 MHz |
| 13 | 32_DGLNTU | 68,2 | PEM | 1538 W | 215° | 0-10° | 900 MHz |
| 14 | 32_DGLNTU | 68,2 | PEM | 5636 W | 215° | 0-10° | 1800 MHz |
| 15 | 32_DGLNTU | 68,2 | PEM | 4977 W | 215° | 0-10° | 2100 MHz |
| 16 | 41_HV | 68,2 | PEM | 3006 W | 310° | 0-10° | 800 MHz |
| 17 | 41_HV | 68,2 | PEM | 9932 W | 310° | 0-10° | 2600 MHz |
| 18 | 42_DGLNTU | 68,2 | PEM | 1538 W | 310° | 0-10° | 900 MHz |
| 19 | 42_DGLNTU | 68,2 | PEM | 5636 W | 310° | 0-10° | 1800 MHz |
| 20 | 42_DGLNTU | 68,2 | PEM | 4977 W | 310° | 0-10° | 2100 MHz |
| 21 | RL2 | 68,8 | PEM | 3715 W | 314° | | 23 GHz |
| 22 | RL3 | 68,8 | PEM | 8822 W | 139° | | 80 GHz, 23 GHz |
| 23 | RL4 | 65,7 | PEM | 6457 W | 314° | | 80 GHz |

5) Opis stosowanych metod ograniczania wielkości emisji.

Brak zmian.

6) Informacja, czy stopień ograniczania wielkości emisji jest zgodny z obowiązującymi przepisami.

Stopień ograniczenia wielkości emisji jest zgodny z obowiązującymi przepisami.

7) (uchylony)

-/-

8) Sprawozdanie z wykonanych pomiarów poziomów pól EM, o których mowa w art. 122a ust. 1 pkt 1.

Sprawozdanie nr 402/2023/OS/04 z dnia 2023-09-08, Nr akredytacji PCA – AB 1571.

Podpis jest prawdziwy

Dokument podpisany przez

22.07.2023



AB 1571

SOLDI

SOLDI Sp. z o.o.
ul. Bieżanowska 22
30-812 Kraków

Sprawozdanie nr 402/2023/OS/04

Sprawozdanie z badania natężenia pól elektromagnetycznych
wykonanych w środowisku

Miejsce wykonania badania:

(dane uzyskane od klienta)

TRG2008C

42-600 Tarnowskie Góry, Zagórska 83,
pow. tarnogórski, woj. śląskie

Data zakończenia badania:

08.09.2023 r.

Klient:

P4 Sp. z o.o.
ul. Wynalazek 1
02-677 Warszawa

SOLDI

Autoryzacja / wydanie sprawozdania:

Bez pisemnej zgody laboratorium, sprawozdanie nie może być wykorzystane inaczej, jak tylko w całości.

1. Podstawa prawna

Badania wykonano zgodnie z obecnie występującymi aktami prawnymi:

- Ustawa z dnia 27 kwietnia 2001 r. Prawo ochrony środowiska (Dz. U. 2022 poz. 2556 z zm.),
- Rozporządzenie Ministra Zdrowia z dnia 17 grudnia 2019 r. w sprawie dopuszczalnych poziomów pól elektromagnetycznych w środowisku (Dz. U. 2019 poz. 2448),
- Rozporządzenie Ministra Klimatu z dnia 17 lutego 2020 r. w sprawie sposobów sprawdzania dotrzymania dopuszczalnych poziomów pól elektromagnetycznych w środowisku (Dz. U. 2022 poz. 2630).

2. Aparatura pomiarowa

Podczas badań użyto następującej aparatury pomiarowej:

Tabela nr 1

| Miernik szerokopasmowy | Sondy | Zakres częstotliwościowy | Zakres pomiarowy* | Świadectwo wzorcowania |
|-------------------------------|----------------------|--------------------------|-------------------|---|
| Narda NBM-520 Nr D-1583 | EF-0392 nr E-0004 | 0,1 – 3 600 MHz | 0,5 – 800 V/m | LWiMP/W/295/23; data wydania: 26.07.2023 |
| Narda NBM-520 Nr D-1583 | EF-6091 nr 01164 | 80 – 90 000 MHz | 0,5 – 300 V/m | LWiMP/W/295/23; data wydania: 26.07.2023 |

*Do wyznaczenia poprawnej wartości natężenia pola elektromagnetycznego uwzględniono współczynniki korekcyjne z właściwego świadectwa wzorcowania.

Aparaturę pomiarową charakteryzują następujące wartości niepewności pomiaru obliczone i przedstawiona zgodnie z dokumentem PN-EN 50413. Podane wartości niepewności stanowią niepewności rozszerzone dla poziomu ufności 95% i współczynnika rozszerzenia $k=2$.

Procedury wdrożone w laboratorium pozwalają zapewnić odporność elektromagnetyczną miernika.

Niepewność pomiarowa wyznaczona dla zainstalowanych i skonfigurowanych obiektów – źródeł pól, jak w dniu pomiaru wynosi 39%.

Dodatkowa aparatura pomiarowa:

- Kompas (busola) [UP/10/Sw]
- Cyfrowy miernik wilgotności względnej i temperatury powietrza AZ8703
nr fab. S/N:10047614 [UP/11/Sw]
(Świadectwo wzorcowania: 0367/AH/15; data wydania: 17.03.2015)
- Taśma miernicza geodezyjna 50 m [UP/12/Sw]
(Świadectwo wzorcowania: 1429.01-M11-4180-515/15; data wydania: 27.04.2015)
- Odbiornik GPS HUAWEI P20 Pro [UP/21/Sw]

3. Opis badania

Badanie przeprowadziło Laboratorium Badawcze Soldi na podstawie zlecenia firmy P4 Sp. z o.o.

Badanie wykonano zgodnie z:

Załącznikiem do rozporządzenia Ministra Klimatu z dnia 17 lutego 2020 r. w sprawie sposobów sprawdzania dotrzymania dopuszczalnych poziomów pól elektromagnetycznych w środowisku (Dz. U. 2022 poz. 2630).

Badania promieniowania elektromagnetycznego, którego źródłem są urządzenia wyszczególnione w punkcie 4 sprawozdania przeprowadzono w pionach pomiarowych na kierunkach zbliżonych do azymutów badanej instalacji, w szczególności w tych miejscach, w których na podstawie uprzednio przeprowadzonych obliczeń, stwierdzono występowanie w danych zakresach częstotliwości pól-EM o poziomach zbliżonych do poziomów dopuszczalnych oraz do odległości, dla której stwierdzono w miejscach dostępnych dla ludności występowanie pól elektromagnetycznych o najwyższym poziomie, które pochodzą z badanej instalacji. Badania pól elektromagnetycznych przeprowadzono w pionach pomiarowych wzdłuż głównych kierunków pomiarowych, dodatkowych pionach oraz w miejscach dostępnych dla ludności w otoczeniu instalacji. W przyjętych pionach pomiarowych pomiary wykonano na wysokościach od 0,3 m do 2,0 m nad powierzchnią terenu albo nad innymi miejscami dostępnymi dla ludności. W pobliżu urządzeń, obiektów i elementów metalowych pomiary wykonano w odległości nie mniejszej niż 0,3 m od tych urządzeń, obiektów i elementów metalowych.

Przy sprawdzeniu dotrzymania dopuszczalnych poziomów pól elektromagnetycznych w środowisku nie uwzględnia się poprawek pomiarowych ze względu, na fakt iż pomiary wykonywane są przy użyciu miernika szerokopasmowego.

4. Informacje przekazane przez klienta

Tabela nr 2 – Opis obiektu, w otoczeniu którego wykonano badania oraz określenie terenu wokół stacji

Tabela nr 2a – Szczegółowe dane źródła pól dla anten mikrofalowych

Tabela nr 2b – Szczegółowe dane źródła pól dla anten sektorowych

Tabela nr 2

| Opis obiektu, w otoczeniu którego wykonano pomiary | |
|--|--|
| Rodzaj konstrukcji wsporczej: | Antenowe konstrukcje wsporcze na żelbetowym kominie |
| Wysokość komina: | 70,0 m n.p.t. |
| Rodzaj terenu wokół stacji bazowej: | Stacja bazowa zlokalizowana jest na terenie miejskim, w najbliższym otoczeniu stacji znajdują się budynki przemysłowe oraz mieszkaniowe. |

Tabela nr 2a

| Charakterystyka promieniowania | | | | kierunkowa | | | | | |
|---------------------------------|------------------|---------------------------|---------------------|-----------------------|---------------------|------------|------------------------|---------------|---------------|
| Rzeczywisty czas pracy [h/dobę] | | | | 24 | | | | | |
| Rodzaj wytwarzanego pola | | | | stacjonarne | | | | | |
| Linia radiowa | | | | Antena | | | | | |
| Lp. | Typ nadajnika | Częstotliwość pracy [GHz] | Moc wyjściowa [dBm] | Typ / producent | Średnica anteny [m] | Azymut [°] | Wysokość zainstal. [m] | LON | LAT |
| 1 | OPTIX RTN/HUAWEI | 80/23 | 18/25 | 0.6-80/23 (A23S80S06) | 0,6 | 139 | 68,8 | 18°47'58.30"E | 50°28'38.90"N |
| 2 | OPTIX RTN/HUAWEI | 23 | 25 | 0.6-23 (VHLP2-23) | 0,6 | 314 | 68,8 | 18°47'58.30"E | 50°28'38.90"N |
| 3 | OPTIX RTN/HUAWEI | 80 | 19 | 0.6-80 (A80S06) | 0,6 | 314 | 65,7 | 18°47'58.30"E | 50°28'38.90"N |

Tabela nr 2b

| Charakterystyka promieniowania | | | | kierunkowa | | | | | |
|---------------------------------|---------------|------------------------|------------|---|-------------|--------------------|---------------------|---------------|---------------|
| Rzeczywisty czas pracy [h/dobę] | | | | Całodobowa 24h | | | | | |
| Warunki pracy | | | | Znamionowe | | | | | |
| Rodzaj wytwarzanego pola | | | | stacjonarne | | | | | |
| Lp. | Typ nadajnika | Antena Producent / Typ | Azymut [°] | Wysokość środka elektr. anteny [m n.p.t.] | Pasmo [Mhz] | Kąt nachylenia [°] | EIRP dla anteny [W] | LON | LAT |
| 1 | DBS3xxx/5xxx | Huawei ATR4518R6 | 40 | 68,2 | 800 | 0 - 10 | 12938 | 18°47'58.30"E | 50°28'38.90"N |
| | DBS3xxx/5xxx | | | | 2600 | 0 - 10 | | 18°47'58.30"E | 50°28'38.90"N |
| 2 | DBS3xxx/5xxx | Huawei ATR4518R6 | 40 | 68,2 | 900 | 0 - 10 | 12151 | 18°47'58.30"E | 50°28'38.90"N |
| | DBS3xxx/5xxx | | | | 1800 | 0 - 10 | | 18°47'58.30"E | 50°28'38.90"N |
| | DBS3xxx/5xxx | | | | 2100 | 0 - 10 | | 18°47'58.30"E | 50°28'38.90"N |
| 3 | DBS3xxx/5xxx | Huawei ATR4518R6 | 130 | 68,2 | 800 | 0 - 10 | 12938 | 18°47'58.30"E | 50°28'38.90"N |
| | DBS3xxx/5xxx | | | | 2600 | 0 - 10 | | 18°47'58.30"E | 50°28'38.90"N |
| 4 | DBS3xxx/5xxx | Huawei ATR4518R6 | 130 | 68,2 | 900 | 0 - 10 | 12151 | 18°47'58.30"E | 50°28'38.90"N |
| | DBS3xxx/5xxx | | | | 1800 | 0 - 10 | | 18°47'58.30"E | 50°28'38.90"N |
| | DBS3xxx/5xxx | | | | 2100 | 0 - 10 | | 18°47'58.30"E | 50°28'38.90"N |
| 5 | DBS3xxx/5xxx | Huawei ATR4518R6 | 215 | 68,2 | 800 | 0 - 10 | 12938 | 18°47'58.30"E | 50°28'38.90"N |
| | DBS3xxx/5xxx | | | | 2600 | 0 - 10 | | 18°47'58.30"E | 50°28'38.90"N |
| 6 | DBS3xxx/5xxx | Huawei ATR4518R6 | 215 | 68,2 | 900 | 0 - 10 | 12151 | 18°47'58.30"E | 50°28'38.90"N |
| | DBS3xxx/5xxx | | | | 1800 | 0 - 10 | | 18°47'58.30"E | 50°28'38.90"N |
| | DBS3xxx/5xxx | | | | 2100 | 0 - 10 | | 18°47'58.30"E | 50°28'38.90"N |
| 7 | DBS3xxx/5xxx | Huawei ATR4518R6 | 310 | 68,2 | 800 | 0 - 10 | 12938 | 18°47'58.30"E | 50°28'38.90"N |
| | DBS3xxx/5xxx | | | | 2600 | 0 - 10 | | 18°47'58.30"E | 50°28'38.90"N |
| 8 | DBS3xxx/5xxx | Huawei ATR4518R6 | 310 | 68,2 | 900 | 0 - 10 | 12151 | 18°47'58.30"E | 50°28'38.90"N |
| | DBS3xxx/5xxx | | | | 1800 | 0 - 10 | | 18°47'58.30"E | 50°28'38.90"N |
| | DBS3xxx/5xxx | | | | 2100 | 0 - 10 | | 18°47'58.30"E | 50°28'38.90"N |

W załączonej tabeli podano maksymalne parametry pracy tej instalacji deklarowane przez prowadzącego instalację. Podczas pomiarów urządzenia użytkownika pracowały przy aktualnie występującym obciążeniu. Anteny o sterowanych wiązkach zostały ustawione w sposób umożliwiający spełnienie wymagań pkt 13 ppkt 2 RMK.

Jako dopuszczalne poziomy gęstości pola elektromagnetycznego przyjmuje się wartość 2 W/m², co odpowiada natężeniu składowej elektrycznej pola elektromagnetycznego o wartości 28 V/m – tj. minimalnej wartości dopuszczalnej dla zakresu częstotliwości od 10 MHz do 300 GHz, dzięki czemu zostaje uwzględniona obecność innych instalacji emitujących pole – EM w sąsiedztwie.

5. Wyniki badań i szkic sytuacyjny

Tabela nr 3

| Data wykonania pomiarów | Godzina | | Opady | Temperatura [°C] | | Wilgotność [%] | |
|-------------------------|----------------------|----------------------|-------|------------------|------------|----------------|------------|
| | Rozpoczęcia pomiarów | Zakończenia pomiarów | | Minimalna | Maksymalna | Minimalna | Maksymalna |
| 05.09.2023 | 14:40 | 16:00 | Brak | 22,7 | 23,8 | 40 | 43 |

Temperatura i wilgotność względna nie wyższa niż dopuszczalna specyfikacja miernika.

Tabela nr 4

| Nr pionu / punktu | Lokalizacja pionu / punktu pomiarowego | | | Wysokość pomiaru | Wartość zmierzona | Wynik badania pola-E ^{*)} | Wskaźnik poziomu emisji WM _E | Wartość wyznaczona pola-H | Wskaźnik poziomu emisji WM _H |
|-------------------|--|----------|--|------------------|-------------------|------------------------------------|---|---------------------------|---|
| | LAT | LON | Opis | | | | | | |
| 1 | 2 | 3 | 4 | 5 | 6 | 7 | 8 | 9 | 10 |
| 1 | 50.47761 | 18.79958 | GKP; poziom terenu wokół stacji bazowej | 2,0 | 1,4 | 1,9 | 0,07 | 0,005 | 0,07 |
| 2 | 50.47770 | 18.79961 | GKP; poziom terenu wokół stacji bazowej | 2,0 | 1,6 | 2,2 | 0,08 | 0,006 | 0,08 |
| 3 | 50.47808 | 18.79975 | GKP; poziom terenu wokół stacji bazowej | 2,0 | 1,3 | 1,8 | 0,06 | 0,005 | 0,07 |
| 4 | 50.47851 | 18.79991 | GKP; poziom terenu wokół stacji bazowej | 2,0 | 1,4 | 1,9 | 0,07 | 0,005 | 0,07 |
| 5 | 50.47757 | 18.79970 | GKP; poziom terenu wokół stacji bazowej | 2,0 | 1,3 | 1,8 | 0,06 | 0,005 | 0,07 |
| 6 | 50.47764 | 18.79978 | GKP; poziom terenu wokół stacji bazowej | 2,0 | 1,4 | 1,9 | 0,07 | 0,005 | 0,07 |
| 7 | 50.47794 | 18.80019 | GKP; poziom terenu wokół stacji bazowej | 2,0 | 1,4 | 1,9 | 0,07 | 0,005 | 0,07 |
| 8 | 50.47828 | 18.80064 | GKP; poziom terenu wokół stacji bazowej | 2,0 | 1,2 | 1,7 | 0,06 | 0,004 | 0,06 |
| 9 | 50.48187 | 18.80542 | GKP; poziom terenu wokół stacji bazowej 651m od obiektu na azymucie 40° | 2,0 | 0,7 | 1,0 | 0,03 | 0,003 | 0,04 |
| 10 | 50.47748 | 18.79980 | GKP; poziom terenu wokół stacji bazowej | 2,0 | 1,3 | 1,8 | 0,06 | 0,005 | 0,07 |
| 11 | 50.47750 | 18.79992 | GKP; poziom terenu wokół stacji bazowej | 2,0 | 1,3 | 1,8 | 0,06 | 0,005 | 0,07 |
| 12 | 50.47759 | 18.80038 | GKP; poziom terenu wokół stacji bazowej | 2,0 | 1,4 | 1,9 | 0,07 | 0,005 | 0,07 |
| 13 | 50.47775 | 18.80117 | GKP; poziom terenu wokół stacji bazowej | 2,0 | 0,7 | 1,0 | 0,03 | 0,003 | 0,04 |
| 14 | 50.47736 | 18.79980 | GKP; poziom terenu wokół stacji bazowej | 2,0 | 1,4 | 1,9 | 0,07 | 0,005 | 0,07 |
| 15 | 50.47735 | 18.79991 | GKP; poziom terenu wokół stacji bazowej | 2,0 | 1,3 | 1,8 | 0,06 | 0,005 | 0,07 |
| 16 | 50.47725 | 18.80055 | GKP; poziom terenu wokół stacji bazowej | 2,0 | 1,2 | 1,7 | 0,06 | 0,004 | 0,06 |
| 17 | 50.47728 | 18.79975 | GKP; poziom terenu wokół stacji bazowej | 2,0 | 1,3 | 1,8 | 0,06 | 0,005 | 0,07 |
| 18 | 50.47723 | 18.79983 | GKP; poziom terenu wokół stacji bazowej | 2,0 | 1,4 | 1,9 | 0,07 | 0,005 | 0,07 |
| 19 | 50.47697 | 18.80033 | GKP; poziom terenu wokół stacji bazowej | 2,0 | 1,2 | 1,7 | 0,06 | 0,004 | 0,06 |
| 20 | 50.47670 | 18.80083 | GKP; poziom terenu wokół stacji bazowej | 2,0 | 1,3 | 1,8 | 0,06 | 0,005 | 0,07 |
| 21 | 50.47367 | 18.80655 | GKP; poziom terenu wokół stacji bazowej 651m od obiektu na azymucie 130° | 2,0 | 0,6 | 0,8 | 0,03 | 0,002 | 0,03 |
| 22 | 50.47720 | 18.79980 | GKP; poziom terenu wokół stacji bazowej | 2,0 | 0,7 | 1,0 | 0,03 | 0,003 | 0,04 |
| 23 | 50.47697 | 18.80011 | GKP; poziom terenu wokół stacji bazowej | 2,0 | 1,2 | 1,7 | 0,06 | 0,004 | 0,06 |
| 24 | 50.47673 | 18.80042 | GKP; poziom terenu wokół stacji bazowej | 2,0 | 1,4 | 1,9 | 0,07 | 0,005 | 0,07 |

^{*)} Za wynik badania przyjmuje się wartość wyznaczoną jako maksymalny chwilowy wynik pomiarów powiększony o rozszerzoną niepewność pomiaru U dla współczynnika rozszerzenia k=2.

Objaśnienia:

GKP – Główny Kierunek Pomiarowy

Tabela nr 4 cd.

| Nr pionu / punktu | Lokalizacja pionu / punktu pomiarowego | | | Wysokość pomiaru | Wartość zmierzona | Wynik badania pola-E ¹⁾ | Wskaźnik poziomu emisji WM _E | Wartość wyznaczona pola-H | Wskaźnik poziomu emisji WM _H |
|-------------------|--|----------|--|------------------|-------------------|------------------------------------|---|---------------------------|---|
| | LAT | LON | Opis | | | | | | |
| 1 | 2 | 3 | 4 | 5 | 6 | 7 | 8 | 9 | 10 |
| 25 | 50.47724 | 18.79955 | GKP; poziom terenu wokół stacji bazowej | 2,0 | 1,3 | 1,8 | 0,06 | 0,005 | 0,07 |
| 26 | 50.47703 | 18.79961 | GKP; poziom terenu wokół stacji bazowej | 2,0 | 1,1 | 1,5 | 0,05 | 0,004 | 0,06 |
| 27 | 50.47672 | 18.79972 | GKP; poziom terenu wokół stacji bazowej | 2,0 | 1,9 | 2,6 | 0,09 | 0,007 | 0,10 |
| 28 | 50.47733 | 18.79941 | GKP; poziom terenu wokół stacji bazowej | 2,0 | 1,3 | 1,8 | 0,06 | 0,005 | 0,07 |
| 29 | 50.47712 | 18.79917 | GKP; poziom terenu wokół stacji bazowej | 2,0 | 0,6 | 0,8 | 0,03 | 0,002 | 0,03 |
| 30 | 50.47683 | 18.79886 | GKP; poziom terenu wokół stacji bazowej | 2,0 | 1,4 | 1,9 | 0,07 | 0,005 | 0,07 |
| 31 | 50.47650 | 18.79850 | GKP; poziom terenu wokół stacji bazowej | 2,0 | 1,7 | 2,4 | 0,08 | 0,006 | 0,09 |
| 32 | 50.47267 | 18.79430 | GKP; poziom terenu wokół stacji bazowej 643m od obiektu na azymucie 215° | 2,0 | 0,7 | 1,0 | 0,03 | 0,003 | 0,04 |
| 33 | 50.47739 | 18.79919 | GKP; poziom terenu wokół stacji bazowej | 2,0 | 1,4 | 1,9 | 0,07 | 0,005 | 0,07 |
| 34 | 50.47739 | 18.79906 | GKP; poziom terenu wokół stacji bazowej | 2,0 | 0,8 | 1,1 | 0,04 | 0,003 | 0,04 |
| 35 | 50.47750 | 18.79933 | GKP; poziom terenu wokół stacji bazowej | 2,0 | 1,3 | 1,8 | 0,06 | 0,005 | 0,07 |
| 36 | 50.47770 | 18.79895 | GKP; poziom terenu wokół stacji bazowej | 2,0 | 0,7 | 1,0 | 0,03 | 0,003 | 0,04 |
| 37 | 50.47776 | 18.79883 | GKP; poziom terenu wokół stacji bazowej | 2,0 | 1,0 | 1,4 | 0,05 | 0,004 | 0,05 |
| 38 | 50.47802 | 18.79835 | GKP; poziom terenu wokół stacji bazowej | 2,0 | 1,4 | 1,9 | 0,07 | 0,005 | 0,07 |
| 39 | 50.48113 | 18.79241 | GKP; poziom terenu wokół stacji bazowej 651m od obiektu na azymucie 310° | 2,0 | 0,6 | 0,8 | 0,03 | 0,002 | 0,03 |
| 40 | 50.47779 | 18.79887 | GKP; poziom terenu wokół stacji bazowej | 2,0 | 0,8 | 1,1 | 0,04 | 0,003 | 0,04 |
| 41 | 50.47804 | 18.79845 | GKP; poziom terenu wokół stacji bazowej | 2,0 | 1,3 | 1,8 | 0,06 | 0,005 | 0,07 |
| 42 | 50.47761 | 18.79942 | GKP; poziom terenu wokół stacji bazowej | 2,0 | 1,4 | 1,9 | 0,07 | 0,005 | 0,07 |
| 43 | 50.47770 | 18.79939 | GKP; poziom terenu wokół stacji bazowej | 2,0 | 1,6 | 2,2 | 0,08 | 0,006 | 0,08 |
| 44 | 50.47808 | 18.79919 | GKP; poziom terenu wokół stacji bazowej | 2,0 | 1,3 | 1,8 | 0,06 | 0,005 | 0,07 |
| 45 | 50.47850 | 18.79902 | GKP; poziom terenu wokół stacji bazowej | 2,0 | 1,3 | 1,8 | 0,06 | 0,005 | 0,07 |
| A | - | - | DPP; św. okna klatki schodowej w budynku przy ul. Kościelnej 69 (p.2) | 2,0 | 2,4 | 3,3 | 0,12 | 0,009 | 0,12 |
| B | 50.47747 | 18.79954 | DPP; wejście do budynku przy kominie na działce nr 432/25 | 2,0 | 1,1 | 1,5 | 0,05 | 0,004 | 0,06 |
| C | 50.47633 | 18.79868 | DPP; brama w budynku przemysłowym na działce nr 460/25 | 2,0 | 1,3 | 1,8 | 0,06 | 0,005 | 0,07 |

¹⁾ Za wynik badania przyjmuje się wartość wyznaczoną jako maksymalny chwilowy wynik pomiarów powiększony o rozszerzoną niepewność pomiaru U dla współczynnika rozszerzenia k=2.

Objaśnienia:

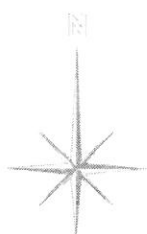
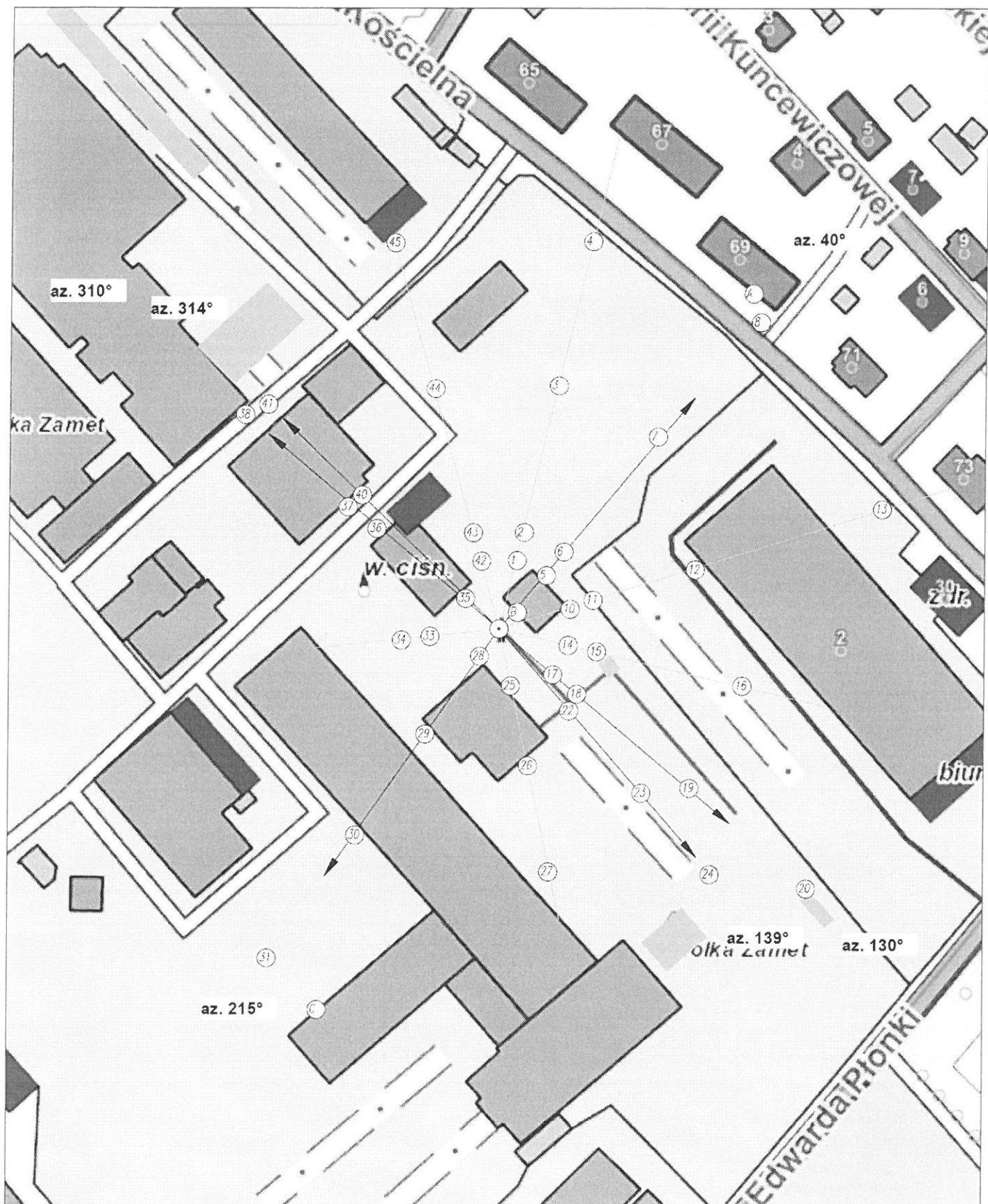
GKP – Główny Kierunek Pomiarowy

DPP – Dodatkowy Pion Pomiarowy

Wyniki pomiarów odnoszą się wyłącznie do przedstawionych w sprawozdaniu punktów / pionów pomiarowych.

Dane podane przez klienta wpływają na ważność wyników.

W obszarze pomiarowym zainstalowane są urządzenia obcych operatorów, które zostały uwzględnione podczas wykonywania badań. Urządzenia te pracowały przy aktualnie występującym obciążeniu i mogą mieć wpływ na przedstawione wyniki badań.



UWAGA: Nie wszystkie punkty / plony pomiarowe zostały wskazane na powyższej mapie

LEGENDA:

- ⊙ – Punkty (plony) pomiarowe
- – Lokalizacja źródła pola-EM

| | | | | |
|--|--|--|-----------|------------------|
| ul. Sp. z o.o. ul. Wyzwolenia 62-677 Warszawa, ul. Wyzwolenia 1 | | nr stożki | TRC2008 C | Skala |
| Nazwa rysunku: Rozmieszczenie plonów pomiarowych | | | | 1:1500 |
| nr sprawozdania: 402/2023/05/04 | | | | |
| LABORATORIUM BADAWCZE S.O.J.I. ul. Białonowska 22, 30-812 Kraków | | Ciepłota Laboratorium Badawcze S.O.J.I. | | Nr rysunku 01 |

6. Podsumowanie wyników badania

Minimalne dopuszczalne poziomy elektromagnetycznego promieniowania niejonizującego charakteryzowane przez wartości graniczne wielkości fizycznych dla miejsc dostępnych dla ludności, uwzględniające wszystkie źródła promieniowania mogące występować w obszarze pomiarowym, w zakresie pomiarowym zestawu pomiarowego, opisanego w punkcie 2 niniejszego sprawozdania, zgodnie z rozporządzeniem Ministra Zdrowia z dnia 17 grudnia 2019 r. w sprawie dopuszczalnych poziomów pól elektromagnetycznych w środowisku (Dz. U. 2019 poz. 2448), które zostały przyjęte do obliczeń wskaźników WM_E i WM_H wynoszą odpowiednio:

Tabela nr 5

| Zakres częstotliwości | Natężenie pola - E | Natężenie pola - H |
|-----------------------|--------------------|--------------------|
| 10 MHz – 300 GHz | 28 V/m | 0,073 A/m |

Przeprowadzone badania zostały wykonane przy użyciu miernika szerokopasmowego i nie wykazały przekroczenia 70% ww. wartości dopuszczalnych. W wyniku przeprowadzonego badania potwierdzono także, że otrzymane wartości wskaźnikowe dla wszystkich punktów / pionów pomiarowych badanej instalacji radiokomunikacyjnej, nie przekroczyły wartości 1. Zatem poziomy pól elektromagnetycznych w badanych punktach są dopuszczalne.

Stwierdzenie zgodności zostało przedstawione na podstawie wyników badań oraz informacji uzyskanych od klienta (za które Laboratorium nie ponosi odpowiedzialności) dla instalacji opisanej w punkcie 4.

Stwierdzenia zgodności dokonano na podstawie zasady podejmowania decyzji i wymagań zawartych w załączniku do rozporządzenia Ministra Klimatu z dnia 17 lutego 2020 r. w sprawie sposobów sprawdzania dotrzymania dopuszczalnych poziomów pól elektromagnetycznych w środowisku (Dz. U. 2022 poz. 2630).

Tabela nr 6

| Badanie wykonał: | Sprawozdanie sporządził: | Sprawdził: |
|------------------|--------------------------|------------|
| | | |

KONIEC SPRAWOZDANIA

UPP - Urzędowe Poświadczenie Przedłożenia

Identyfikator Poświadczenia: ePUAP-UPP115747266

Adresat dokumentu, którego dotyczy poświadczenie

Nazwa adresata dokumentu: STAROSTWO POWIATOWE W TARNOWSKICH GÓRACH

Identyfikator adresata: 3303v51evb

Rodzaj identyfikatora adresata: ePUAP-ID

Nadawca dokumentu, którego dotyczy poświadczenie

Nazwa nadawcy: P4 Sp. z o.o.

Identyfikator nadawcy: P4-Region-Katowice

Rodzaj identyfikatora nadawcy: ePUAP-ID

Dane poświadczenia

Data doręczenia: 2023-10-02T14:17:59.578

Data wytworzenia poświadczenia: 2023-10-02T14:17:59.578

Identyfikator dokumentu, którego dotyczy poświadczenie: DOK165569745

Dane uzupełniające (opcjonalne)

Rodzaj informacji uzupełniającej: Źródło

Wartość informacji uzupełniającej: Poświadczenie wystawione przez platformę ePUAP

Rodzaj informacji uzupełniającej: Identyfikator ePUAP dokumentu

Wartość informacji uzupełniającej: 165569745

Rodzaj informacji uzupełniającej: Informacja

Wartość informacji uzupełniającej: Zgodnie z art. 39¹ par. 1 k.p.a., w związku z art. 158 ust. 1 ustawy o doręczeniach elektronicznych, pisma powiązane z przedłożonym dokumentem będą przesyłane za pomocą środków komunikacji elektronicznej.

Rodzaj informacji uzupełniającej: Pouczenie

Wartość informacji uzupełniającej: Zgodnie z art. 39¹ par. 1d k.p.a., w związku z art. 158 ust. 1 ustawy o doręczeniach elektronicznych, istnieje możliwość rezygnacji z doręczania pism za pomocą środków komunikacji elektronicznej.

Dane dotyczące podpisu

Poświadczenie zostało podpisane - aby je zweryfikować należy użyć oprogramowania do weryfikacji podpisu

Lista podpisanych elementów (referencji):

referencja ID-e061a48681c68d406c3b615109545f5c :

referencja ID-5de982c7b4802778df5e684f45ee0c13 : Pismo%20og%C3%B3lne%20do%20podmiotu%20publicznego%20-%20stary%20wz%C3%B3r%20-%20Pismo%20og%C3%B3lne%20do%20podmiotu%20publicznego.xml

referencja : #xades-id-ce4bab0812227f59752d839893e1eeda

02.10.2023

